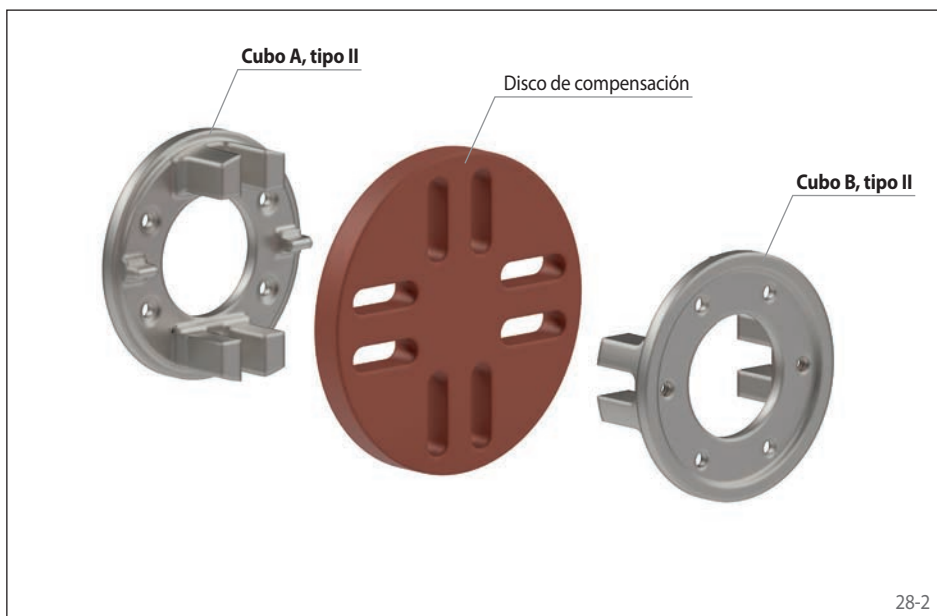


28-1

Características

- Diseño compacto
- Diseño robusto y sencillo
- Aislamiento eléctrico
- Sin efecto stick-slip
- Se permite una gran desalineación radial del eje
- Rígidos a torsión
- Fuerzas radiales mínimas sobre piezas adyacentes de la máquina
- Aplicaciones habituales: Máquinas de impresión, máquina herramienta



28-2

Ejemplo de pedido

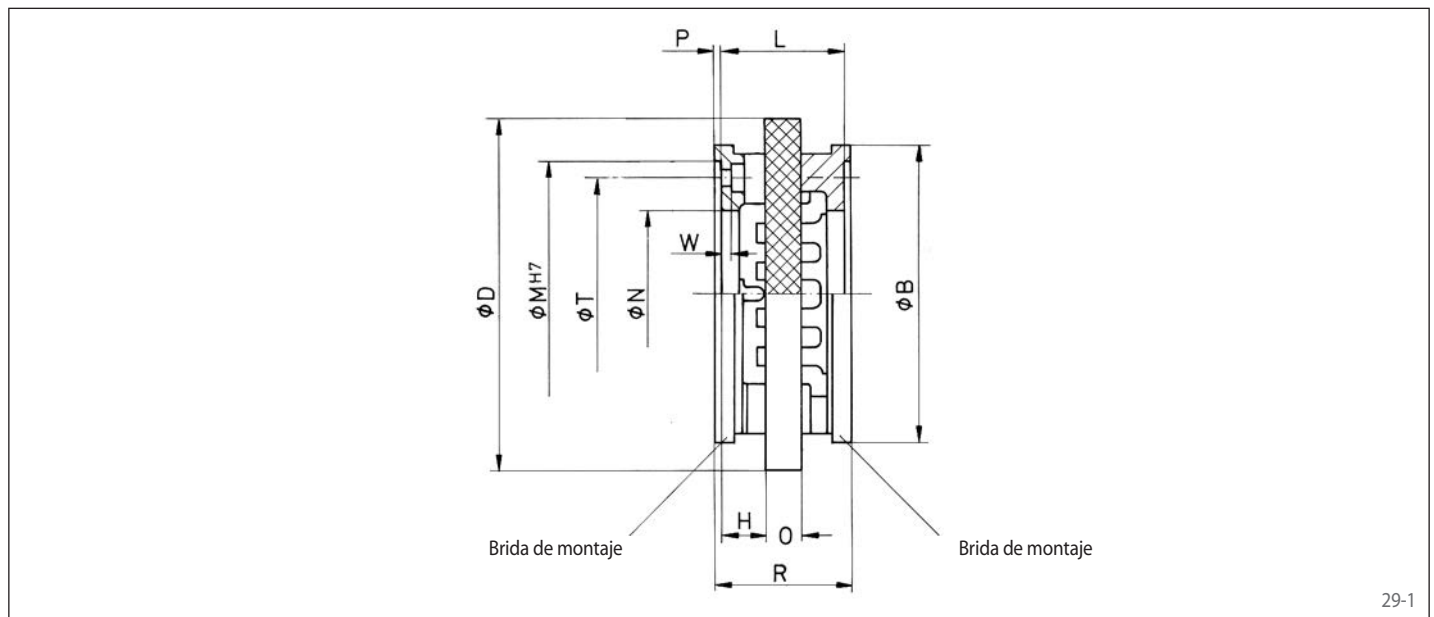
Código

| | |
|---|------|
| Diseño del acoplamiento | RDA |
| Tamaño del acoplamiento | 0110 |
| Tipo | ESO |
| Material del cubo: • Hierro fundido nodular | GJS |
| Cubo A, tipo: • II, cubo con brida | 2 |
| Cubo A, diseño: • Brida de montaje con agujeros pasantes, disposición de agujeros de amarre según patrón | PE |
| Diámetro de paso T cubo A | 180 |
| Cubo B, tipo: • II, cubo con brida | 2 |
| Cubo B, diseño: • Brida de montaje con agujeros pasantes, disposición de agujeros de amarre según patrón | PE |
| Diámetro de paso T cubo B | 180 |
| Material del disco de compensación: • HGW 2082 según DIN 7735 | HG82 |

RDA 0110 ESO-GJS-2PE180-2PE180-HG82

Diseño RDA ... ESO-GJS-2PE ...

Cubo de brida con agujeros pasantes



29-1

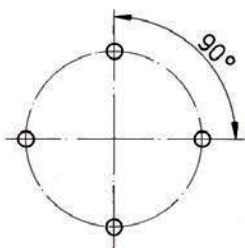
| Tamaño del acoplamiento | Par máx. $T_{K,max}$ Nm | Velocidad máx. n_{max} min^{-1} | Momento de inercia J_K kgm^2 | Desalineación máx.* | | B mm | D mm | H mm | L mm | M ^{H7} mm | N mm | O mm | P mm | R mm | T mm | W mm | Z | Patrón de agujeros** | Peso con eje en desbaste kg |
|-------------------------|----------------------------|--|-------------------------------------|---------------------|--------------|---------|---------|---------|---------|-----------------------|---------|---------|---------|---------|---------|---------|------|----------------------|--------------------------------|
| | | | | Axial +/- mm | Radial mm | | | | | | | | | | | | | | |
| 0035 | 85 | 4100 | 0,0009 | 1,50 | 1,75 | 90 | 110 | 14,5 | 41 | 75 | 45 | 12 | 2,5 | 46 | 65 | 3,5 | M 6 | 1 | 0,7 |
| 0042 | 190 | 3400 | 0,0026 | 1,50 | 2,1 | 110 | 135 | 15,5 | 45 | 90 | 52 | 14 | 2,5 | 50 | 75 | 4,5 | M 6 | 2 | 1,4 |
| 0050 | 500 | 2670 | 0,0053 | 2,00 | 2,5 | 135 | 160 | 18,0 | 52 | 100 | 65 | 16 | 4,5 | 61 | 88 | 4,5 | M 8 | 2 | 1,9 |
| 0051 | 500 | 2670 | 0,0051 | 2,00 | 2,5 | 135 | 160 | 17,5 | 51 | 125 | 76 | 16 | 3,0 | 57 | 108 | 5,0 | M 8 | 3 | 1,7 |
| 0070 | 1000 | 2140 | 0,0138 | 2,00 | 3,5 | 163 | 200 | 21,0 | 62 | 135 | 90 | 20 | 4,0 | 70 | 115 | 5,5 | M 10 | 2 | 3,2 |
| 0090 | 2000 | 1700 | 0,0453 | 2,50 | 4,5 | 202 | 250 | 26,5 | 78 | 170 | 104 | 25 | 4,5 | 87 | 150 | 7,0 | M 10 | 4 | 7,0 |
| 0110 | 4000 | 1350 | 0,1314 | 4,00 | 5,5 | 254 | 315 | 32,0 | 96 | 200 | 146 | 32 | 5,0 | 106 | 180 | 5,0 | M 12 | 3 | 12,3 |
| 0140 | 8000 | 1050 | 0,5203 | 4,50 | 7,0 | 330 | 400 | 44,0 | 128 | 250 | 157 | 40 | 5,0 | 138 | 225 | 8,0 | M 16 | 3 | 31,2 |

* Desalineación angular máx. 3°.

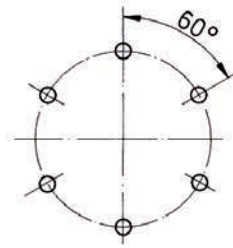
** Disposición de lo agujeros de amarre para los tornillos Z (DIN EN ISO 4762) en la cota de diámetro T. El patrón de los agujeros de la otra mitad de acoplamiento está desfasada 90°.

| Elemento elastómero | Material | Rango de temperatura °C | Color |
|---------------------|------------------|-------------------------|-------|
| HGW 2082 | Algodón fenólico | hasta +100 | rojo |

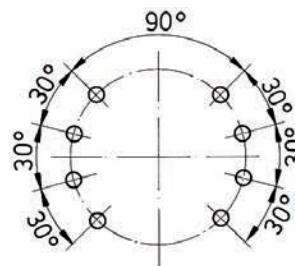
Disposición de los agujeros de amarre



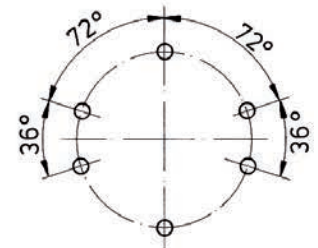
Patrón de agujeros 1



Patrón de agujeros 2



Patrón de agujeros 3



Patrón de agujeros 4